



Расчет делается в приближении точечной примеси; при этом, в частности,  $\tau(\epsilon) \rho(\epsilon) = \text{const}(\epsilon)$ , где  $\tau(\epsilon)$  — время релаксации электронов с энергией  $\epsilon$  по импульсам,  $\rho(\epsilon)$  — односпиновая плотность состояний электронов.

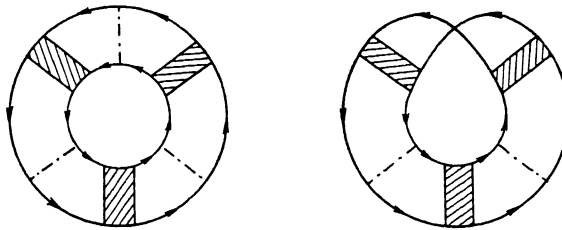


Рис. 1. Закрытые графики, являющиеся поправками к термодинамическому потенциалу.

Штрихпунктирная линия — межэлектронное взаимодействие, определяемое константой  $g$ ; заштрихованные прямоугольники — примесные лестницы.

Термин «грязный» по отношению к материалу означает, что  $\tau T \ll 1$ . В результате расчета в формализме мацубаровских частот получим

$$\lambda(\epsilon_r, \epsilon_a; \mathbf{q}) = \left[ \tau(\epsilon_r - \epsilon_a) - \tau^2(\epsilon_r - \epsilon_a)^2 + \tau \hat{D} \mathbf{q}^2 + \frac{i}{2}(\epsilon_r + \epsilon_a) \{ \tau'_\mu(\epsilon_r - \epsilon_a) + (\tau \hat{D})'_\mu \mathbf{q}^2 - 2\tau \tau'_\mu(\epsilon_r - \epsilon_a)^2 \} \right]^{-1}, \quad \epsilon_r > 0, \quad \epsilon_a < 0, \quad \hat{D} \mathbf{q}^2 = \langle \tau(\mathbf{v} \mathbf{q})^2 \rangle, \quad (1)$$

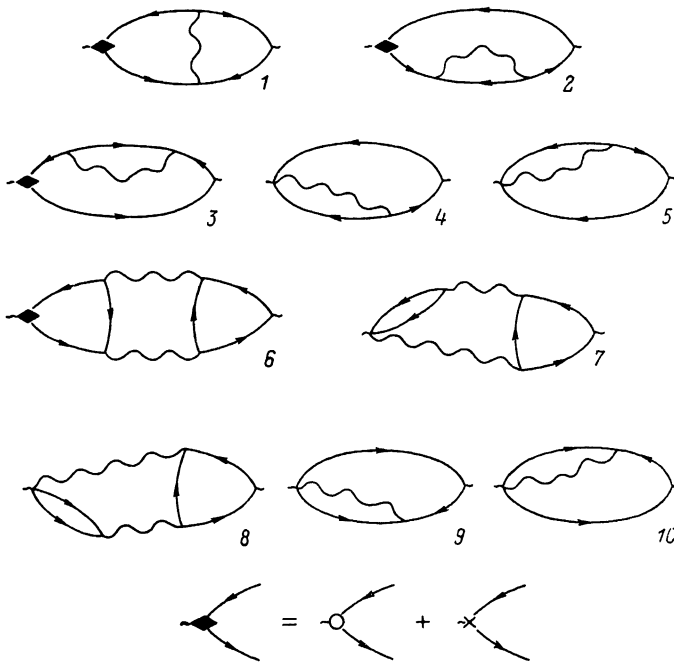


Рис. 2. Набор фейнмановских диаграмм для поправок к термоэлектрическому коэффициенту до усреднения по примесям.

Кружочек и крестик в графическом равенстве обозначают поток кинетической и потенциальной энергии соответственно.

$$L_{\alpha\beta\gamma\delta}(\Omega, \mathbf{q}) = L(\Omega, \mathbf{q}) (\delta_{\alpha\delta} \delta_{\beta\gamma} - \delta_{\alpha\gamma} \delta_{\beta\delta}),$$

$$L(\Omega, \mathbf{q}) = -1/\rho \cdot \left[ \ln(T/T_c) + \Psi \left( \frac{1}{2} + \frac{|\Omega| + \hat{D} \mathbf{q}^2}{4\pi T} \right) - \Psi \left( \frac{1}{2} \right) + \frac{i}{2} \Omega \left\{ 1/\rho g (\ln |g|)'_\mu + \left[ \Psi \left( \frac{\omega_d}{2\pi T} + \frac{1}{2} \right) - \Psi \left( \frac{1}{2} \right) \right] (\ln \tau)'_\mu \right\} \right]^{-1}. \quad (2)$$

Выражение  $\langle \tau (\mathbf{v}\mathbf{q})^2 \rangle$  понимается как среднее по изоэнергетической поверхности. В формулах (1), (2) и в дальнейшем обозначение  $A'_\mu$  понимается как  $(dA/d\varepsilon)_{\varepsilon=\mu}$  для любой физической величины  $A$ . Величина  $\omega_d$  есть характерная максимальная частота фононов, обеспечивающих межэлектронное взаимодействие.

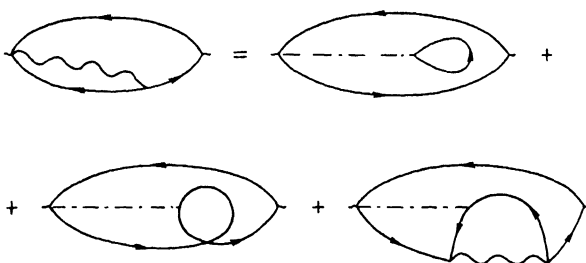


Рис. 3. Графическое определение потока энергии куперовских пар.

Как известно, учет СП флуктуаций соответствует фейнмановским диаграммам, получающимся вставлением токовых вершин и вершин потока тепла в замкнутые графики (рис. 1). При этом необходимо учитывать поток как кинетической, так и потенциальной энергии; это соответствует<sup>1</sup> вставлению вершин потока тепла как в сами функции Грина, так и в вершины взаимодействия и в примесные потенциалы (крестики на диаграммах). На рис. 2 изображены возникающие при этом диаграммы до усреднения по примесям.

Воспользовавшись соотношением Онсангера, можно от расчета тока под действием  $\nabla T$  (не вводимого в гамильтониан статистического возмущения) перейти к расчету теплового потока  $j^T$  под действием электрического поля, которое удобно выбрать в поперечной калибровке  $\mathbf{E} = -i\omega\mathbf{A}$  (на графике 1 рис. 2, например, это обозначено явно). Находя функцию термоэлектрического отклика  $Q_{\alpha\beta}(\omega)$ , где  $\omega = 2\pi T\nu$ , и продолжая ее аналитически в область вещественных частот ( $i\omega \rightarrow \omega + i0$ ) так, чтобы выполнялось соотношение  $j^T_\alpha(\omega) = Q_{\alpha\beta}(\omega)A_\beta(\omega)$ , получим

$$\eta_{\alpha\beta} = (\sigma\alpha)_{\alpha\beta} = \frac{1}{T} \lim (Q_{\alpha\beta}(\omega)/-i\omega)_{\omega \rightarrow 0}.$$

Диаграммы 4, 5, 9, 10 рис. 2 для понимания надо расшифровать (рис. 3). Функция  $Q_{\alpha\beta}$  вычисляется по формуле Кубо, через корреляционную функцию  $\langle j^T_\alpha, j_\beta \rangle$ , усредненную по основному состоянию системы. Доказательству того, что данный набор диаграмм соответствует требованию  $Q_{\alpha\beta}(0) = 0$ , посвящено Приложение. Рассеяние на примесях учитывается в лестничном приближении, соответствующем малому параметру  $1/\mu\tau$ . Если вершина потока тепла входит в примесный потенциал (крестик), то его необходимо усреднить с потенциалом, стоящим на какой-либо функции Грина, например рис. 4. При этом токовой (справа) вершине соответствует  $e \cdot \mathbf{v}_p$

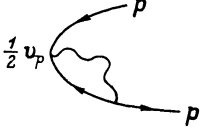
<sup>1</sup> Автор благодарен А. В. Сергееву за то, что он указал на это обстоятельство в частной беседе.

а вершине потока тепла (слева) — соответственно  $\zeta_p v_p$

$$\begin{array}{c} \text{---} p \\ \curvearrowright \\ \text{---} p \\ \text{---} \\ \text{---} p \end{array} = \zeta_p v_p \quad \begin{array}{c} \text{---} p \\ \curvearrowright \text{---} \\ \text{---} k \end{array} = \frac{1}{2} (v_p + v_k) (1/2\pi\rho\tau)^{1/2}$$

для переноса кинетической энергии и  $\frac{1}{2} (v_p + v_k) (1/2\pi\rho\tau)^{1/2}$  для переноса потенциальной, где  $\zeta = \varepsilon(p) - \mu$ ,  $e$  — заряд электрона.

При этом учтено равенство  $1/\tau = 2\pi\rho N_i \langle |u_i|^2 \rangle$  для времени релаксации электронов по импульсам. Что касается вершины потока тепла в диаграммах 4, 5, 9, 10 рис. 2, то из суммирования в рис. 3 можно показать, что этой вершине нужно приписывать  $1/2 v_p$



(соответствующая этой вершине константа  $g$  входит в пропагатор).

Всем диаграммам рис. 2, кроме 1, соответствует дополнительный множитель  $(-1)$  из-за наличия замкнутой электронной петли.

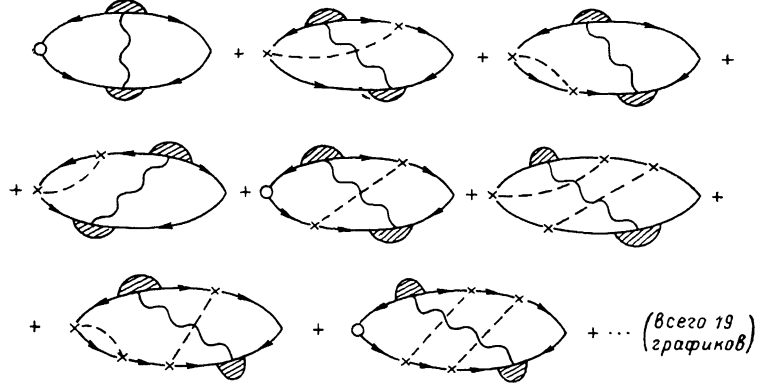


Рис. 5. Набор графиков, полученных после усреднения аномальной МТ диаграммы по примесям.

### 1. Вычисление диаграмм

Можно показать, что вблизи СП перехода основной вклад в термоэдс дают диаграммы типа МТ (1) и АЛ (6—8) рис. 2. Диаграмма 1 рис. 2 вовсе не была учтена в работе Маки [7]; что же касается поправок типа АЛ, то учтен там был лишь график  $\beta$  в рис. 2, но оператор теплового потока брался в виде  $i(\varepsilon + 1/2\omega_p) v_p$ . Можно показать, что такая запись оператора теплового потока неверна (хотя в других случаях полученный результат может совпасть с истинным), т. е. перенос кинетической, потенциальной энергии и энергии взаимодействия не суммируется в мацубаровскую частоту. В противном случае диаграммы 2, 3 рис. 2 давали бы вклад в термоэдс, по порядку величины равный  $\alpha_0 (1/\mu\tau) (1/T\tau)$ ; то же самое справедливо для поправок в диффузионном [8] канале; такое вне всякого сомнения невозможно, ибо термоэдс не может оставаться конечной при  $T \rightarrow 0$ .

Набор графиков, полученных из диаграммы 1 рис. 2 при усреднении по примесям, с расстановкой частот, соответствующей аномальному вкладу МТ, представлен на рис. 5.

Для всех диаграмм, кроме аномального МТ вклада, векторные графики несущественны. При вычислении графиков обычно возникают и некоторые другие упрощения. Так, сумма графиков 3, 4 рис. 5 и произведенных от них

(всего 10 таких графиков) пропорциональна  $\omega^2$  и может быть опущена (одна степень  $\omega$ , получается за счет суммирования по  $\varepsilon$  с условием  $-\omega, < \varepsilon < 0$ , другая — за счет разложения разности  $[i/2\tau(\varepsilon) - i/2\tau(\varepsilon + \omega)]$ ). В дальнейших вычислениях вместо  $\omega$  будем писать  $\omega$ .

Далее рассмотрим члены, возникающие из графиков рис. 5 и не содержащие  $\hat{D}\mathbf{q}^2$  и  $(\hat{D}\mathbf{q})^2$  (графики 1, 2 и симметричный к 2). Группируя члены и учитывая, что в усредненной технике  $G_{r,a}(\varepsilon, \mathbf{p}) = [i\varepsilon \pm i/2\tau(\varepsilon) - \tau_p^{-1}]^{-1}$ , получим

$$\begin{aligned} \mathcal{J}_1 &= \int (d\mathbf{p}) (\mathbf{v}_p)_\parallel (\mathbf{v}_{-p})_\parallel G_a(\varepsilon) G_r(\varepsilon + \omega) G_a(\Omega - \varepsilon - \omega) G_r(\Omega - \varepsilon) \times \\ &\times \left\{ \tau_p + (1/2G(\varepsilon)) \frac{1}{2\pi\tau\rho} \int (d\mathbf{k}) G_a(\varepsilon) G_r(\Omega - \varepsilon) + (1/2G_r(\varepsilon + \omega)) \frac{1}{2\pi\tau\rho} \times \right. \\ &\times \left. \int (d\mathbf{k}) G_r(\varepsilon + \omega) G_a(\Omega - \varepsilon) \right\} \rightarrow \int (d\mathbf{p}) (\mathbf{v}_p)_\parallel (\mathbf{v}_{-p})_\parallel G_a(\varepsilon) G_r(\varepsilon) G_a(\Omega - \varepsilon) \times \\ &\times G_r(\Omega - \varepsilon) \left\{ i\varepsilon + (1/2G_a(\varepsilon)) \left[ -1 + \frac{1}{2\pi\tau\rho} \int (d\mathbf{k}) G_a(\varepsilon, \mathbf{k}) \times \right. \right. \\ &\left. \left. \times G_r(\Omega - \varepsilon, -\mathbf{k}) \right] + [r \leftrightarrow a] \right\}. \end{aligned}$$

Здесь для краткости не выписаны импульсы в функциях Грина. Преобразованное выражение проинтегрировать проще; это соответствует тому, что перенос кинетической и потенциальной энергии удобнее рассматривать вместе. Заодно здесь опущено все, что дало бы члены, пропорциональные  $\omega^2$ . Для аномального МТ графика также существенно необходим учет членов  $\sim \hat{D}\mathbf{q}^2$ ,  $(\hat{D}\mathbf{q})^2$  (для других графиков с одним пропагатором учет таких членов излишен). Приведем результаты

$$\begin{aligned} \mathcal{J}_1 &\rightarrow \mathcal{J}_1^i + \mathcal{J}_1^a + \mathcal{J}_2^a, \quad \mathcal{J}_1^i = -2\pi i \tau^3 v_\parallel^2 \rho, \quad \mathcal{J}_1^a = \pi \tau^3 (v_\parallel^2 \rho)'_\mu \hat{D}\mathbf{q}^2, \\ \mathcal{J}_2^a &= 2\pi \rho v_\parallel^2 \tau^2 \tau'_\mu \Omega^2 + \pi \tau^2 (\rho v_\parallel^2 \tau)'_\mu \{ \Omega^2 + (\Omega - 2\varepsilon)^2 \}. \end{aligned} \quad (3)$$

Можно показать в результате достаточно длинных вычислений, что член  $\mathcal{J}_1^i$  и другие подобные члены, возникающие из других графиков с одним пропагатором и дающие вклад в термоэдс, по порядку величины равный  $\alpha_0 (1/\mu\tau) (1/T\tau)$ , компенсируются полностью. Далее, учитывая (1) и выделяя наиболее расходящиеся по  $\mathbf{q}$  члены, четные по частоте пропагатора  $\Omega$ , получаем

$$\begin{aligned} &2T \sum_{\varepsilon} \lambda(\varepsilon, \Omega - \varepsilon; \mathbf{q}) \lambda(\varepsilon + \omega, \Omega - \varepsilon - \omega) \mathcal{J} \rightarrow \\ &\rightarrow 2T \sum_{\varepsilon} [ [\lambda\lambda]_0 \mathcal{J}_2^a + \delta^s [\lambda\lambda] \mathcal{J}_1^a + \delta^a [\lambda\lambda] \mathcal{J}_2^i ] = \\ &= \frac{1}{2} \Omega^2 / (\hat{D}\mathbf{q}^2) \left\{ \Psi \left( \frac{1}{2} + \frac{\hat{D}\mathbf{q}^2 + 2\omega - |\Omega|}{4\pi T} \right) - \Psi \left( \frac{1}{2} + \frac{\hat{D}\mathbf{q}^2 + |\Omega|}{4\pi T} \right) \right\} \Theta(\omega - |\Omega|) \times \\ &\times [ (\rho v_\parallel^2 \tau)'_\mu - \hat{D}_\mu \mathbf{q}^2 / (\hat{D}\mathbf{q}^2) (\rho v_\parallel^2 \tau) ] - (\rho v_\parallel^2 \tau)'_\mu [ \omega - |\Omega| ] \Theta(\omega - |\Omega|) + O(\mathbf{q}^2). \end{aligned} \quad (4)$$

Аналогично в  $\Psi$ -функциях можно пренебречь членами  $\hat{D}\mathbf{q}^2$  (что нельзя делать в пропагаторе  $L$ ). Буквой  $\Theta$  обозначена стандартная функция

$$\Theta(t) = 1, t \geq 0; \quad \Theta(t) = 0, t < 0.$$

Под  $\delta^s [\lambda]$  и  $\delta^a [\lambda]$  понимаются следующие выражения:

$$\begin{aligned} \delta^s [\lambda(\varepsilon_r, \varepsilon_a; \mathbf{q})] &= \delta^s \left[ \frac{1}{\tau(\varepsilon_r - \varepsilon_a) + \tau \hat{D}\mathbf{q}^2 - \tau^2 (\varepsilon_r - \varepsilon_a)^2 + \dots} \right] = \tau^2 (\varepsilon_r - \varepsilon_a)^2 \lambda^2, \\ \delta^a [\lambda] &= \delta^a \left[ \frac{1}{\tau(\varepsilon_r - \varepsilon_a) + \tau^2 \hat{D}\mathbf{q}^2 + (i/2) (\varepsilon_r + \varepsilon_a) \{ \tau'_\mu (\varepsilon_r - \varepsilon_a) + (\tau \hat{D})'_\mu \mathbf{q}^2 \} + \dots} \right] = \\ &= -i/2 (\varepsilon_r + \varepsilon_a) \{ \tau'_\mu (\varepsilon_r - \varepsilon_a) + (\tau \hat{D})'_\mu \mathbf{q}^2 \} \lambda^2. \end{aligned} \quad (5)$$

Во всех диаграммах, кроме аномального МТ вклада, можно упростить (5) в том же приближении по  $\mathbf{q}$

$$\delta^s[\lambda] = \tau(\varepsilon_r - \varepsilon_a)\lambda, \quad \delta^a[\lambda] = -i/2(\ln \tau)'_\mu(\varepsilon_r + \varepsilon_a)\lambda. \quad (6)$$

Для некоторых графиков может потребоваться разложение еще более высокого порядка по частотам; в том же приближении по  $\mathbf{q}$

$$\delta^s \delta^a [\lambda_1(\varepsilon_{r1}, \varepsilon_{a1}; \mathbf{q}) \lambda_2] = -i\tau'_\mu [\varepsilon_{r1}\varepsilon_{r2} - \varepsilon_{a1}\varepsilon_{a2}] \lambda_1 \lambda_2, \quad \delta^s \delta^a [\lambda] = 0. \quad (7)$$

Из той же диаграммы *I* рис. 2 из графиков с другой (не аномальной) расстановкой знаков  $G_r$  и  $G_a$  получим после суммирования по фермионной частоте, выделяя четные члены по  $\Omega$ , в заданном порядке по  $\tau$

$$-(\rho v_1^2 \tau)'_\mu \left\{ \Omega [\varphi(\omega + |\Omega + \omega|) - \varphi(\omega + |\Omega - \omega|)] + \frac{1}{2} [2\omega + 2|\Omega| - |\Omega + \omega| - |\Omega - \omega|] - \frac{1}{2} \frac{\Omega^2}{4\pi T} [\varphi'(|\Omega|) + \varphi'(2\omega + |\Omega|)] \right\}. \quad (8)$$

Здесь и в дальнейшем для краткости используется переобозначение  $\Psi(1/2 + x/4\pi T) \rightarrow \varphi(x)$ ,  $\Psi'(1/2 + x/4\pi T) \rightarrow \varphi'(x)$ . Аналогично из диаграмм 2, 3 рис. 2 получаем

$$-\frac{1}{2} (\rho v_1^2 \tau)'_\mu \left\{ \frac{\Omega^2}{4\pi T} [\varphi'(\omega + |\Omega + \omega|) + \varphi'(\omega + |\Omega - \omega|)] + \frac{1}{2} [2\omega + |\Omega + \omega| + |\Omega - \omega| - 2|\Omega|] \right\}. \quad (9)$$

Сумма диаграмм 4, 5, 9, 10 рис. 2 дает

$$-(\rho v_1^2 \tau)'_\mu \{ \Omega [\varphi(\omega + |\Omega + \omega|) - \varphi(\omega + |\Omega - \omega|)] - 2\omega \}. \quad (10)$$

В результате получаем

$$\begin{aligned} & \frac{1}{2} \Omega^2 / (\hat{D}\mathbf{q}^2) [(\rho v_1^2 \tau)'_\mu - (\rho v_1^2 \tau) (\hat{D}'_\mu \mathbf{q}^2 / \hat{D}\mathbf{q}^2)] [\varphi(2\omega - |\Omega|) - \varphi(|\Omega|)] \times \\ & \times \theta(\omega - |\Omega|) + \frac{1}{2} (\rho v_1^2 \tau)'_\mu \left\{ \frac{\Omega^2}{4\pi T} [\varphi'(|\Omega|) - \varphi'(2\omega - |\Omega|)] \theta(\omega - |\Omega|) + \right. \\ & \left. + \frac{1}{2} [2\omega + 2|\Omega| - |\Omega + \omega| - |\Omega - \omega|] \right\}. \quad (11) \end{aligned}$$

Далее вблизи СП перехода в результате аналитического продолжения по частоте пропагатор имеет вид

$$I_{r,a}(\Omega, \mathbf{q}) = -\frac{1}{\rho} \left[ \ln(T/T_c) + \frac{\pi \hat{D}\mathbf{q}^2}{8T} \mp \frac{i\pi\Omega}{8T} - \Omega \frac{1}{2|g\rho|} (\ln |g\rho|'_\mu)^{-1} \right]. \quad (12)$$

Из (12) видно, что в пропагаторе существенны частоты  $\Omega \sim \sim \alpha \max[T \ln(T/T_c), \hat{D}\mathbf{q}^2]$ . При рассмотрении поправок  $\Delta\sigma$  к проводимости достаточно [5] из всей суммы по бозонным частотам  $T \Sigma_\Omega$  оставить только член с  $\Omega=0$ . Здесь же при  $\Omega=0$  все выражение (11) обращается в нуль. В результате второй и третий члены (11) приводят к величине, имеющей малость  $\ln(T/T_c)$  по отношению к главным членам (т. е. не имеющей температурных особенностей). Что касается первого члена (11), то он содержит  $\hat{D}\mathbf{q}^2$  в знаменателе. Для слоистых СП материалов с сильной анизотропией коэффициента диффузии величина  $\hat{D}\mathbf{q}^2$  должна быть заменена на

$$\hat{D}\mathbf{q}^2 \rightarrow \frac{1}{2} v_1^2 \tau q_1^2 + 2w^2 a^2 \sin^2(q_1 a/2) \tau. \quad (13)$$

$a$  — расстояние между слоями,  $w$  — матричный элемент перескока электрона между слоями. В первом члене (11) достаточно удержать  $\rho'_\mu v_1^2 \tau$ , ибо для слоистых СП материалов остаток  $(\rho (v_1^2 \tau)'_\mu - (\rho v_1^2 \tau) (\ln \hat{D}\mathbf{q}^2)'_\mu)$

мал по параметру квазидвумерия  $\delta_0^2 = \pi \tau \omega^2 / 4T_c$ , а для трехмерных неанизотропных материалов равен нулю. Это приводит к выражению для  $\Delta \eta$

$$\Delta \eta_{||} = T e \rho_{\mu}^{\prime} v_{||}^2 \tau C \int (d\mathbf{q}) / (\rho \hat{D} \mathbf{q}^2),$$

$$C = 1/8\pi T^3 \cdot \int d\Omega [\Omega^2 / \text{sh}^2(\Omega/2T)] [\varphi(-i\Omega) - \varphi(i\Omega)] \{l_r(\Omega) - l_a(\Omega)\},$$

$$l_{r,a}(\Omega, \mathbf{q}) = \left[ t + \Psi \left( \frac{1}{2} + \frac{\hat{D} \mathbf{q}^2}{4\pi T} \mp \frac{i\Omega}{4\pi T} \right) - \Psi \left( \frac{1}{2} \right) \right]^{-1}, \quad t = \ln(T/T_c). \quad (14)$$

Очевидно, что  $C$  порядка единицы. В дальнейшем будут получены члены, имеющие дополнительный большой множитель  $1/|g\rho| \sim \sim \ln(\omega d/2\pi T_c)$ , и по сравнению с ними поправка  $\Delta \eta_{||}$  из (14) мала. Учитывая, что пропагатор  $L$  имеет нечетную по  $\Omega$  часть, выделим нечетные по  $\Omega$  части всех диаграмм с одним пропагатором рис. 2. Диаграмма 1 дает (в заданном порядке по  $\tau$ )

$$\begin{aligned} & -i\Omega/\hat{D}\mathbf{q}^2 (\rho v_{||}^2 \tau) [\varphi(2\omega - |\Omega|) - \varphi(|\Omega|)] \Theta(\omega - |\Omega|) - \\ & - i(\rho v_{||}^2 \tau) \left\{ [\varphi(\omega + |\Omega| + \omega) - \varphi(\omega + |\Omega| - \omega)] + \right. \\ & \left. + \frac{\Omega}{4\pi T} [\varphi'(|\Omega|) + \varphi'(2\omega + |\Omega|)] \right\}. \end{aligned} \quad (15)$$

Первый член (15) соответствует аномальному вкладу МТ. Диаграммы 2, 3 рис. 2 дают

$$i(\rho v_{||}^2 \tau) \frac{\Omega}{4\pi T} [\varphi'(\omega + |\Omega| + \omega) + \varphi'(\omega + |\Omega| - \omega)]. \quad (16)$$

Сумма диаграмм 4, 5, 9, 10 рис. 2 дает

$$2i(\rho v_{||}^2 \tau) [\varphi(\omega + |\Omega| + \omega) - \varphi(\omega + |\Omega| - \omega)]. \quad (17)$$

В результате получаем нечетную по  $\Omega$  часть суммы всех диаграмм рис. 2 с одним пропагатором (члены порядка  $1/\tau$ , как можно показать, сокращаются аналогично четной по  $\Omega$  части) имеет вид

$$\begin{aligned} & -i\Omega(\rho v_{||}^2 \tau) / \hat{D}\mathbf{q}^2 [\varphi(2\omega - |\Omega|) - \varphi(|\Omega|)] \Theta(\omega - |\Omega|) + i(\rho v_{||}^2 \tau) \times \\ & \times \left\{ \frac{\Omega}{4\pi T} [\varphi'(2\omega - |\Omega|) - \varphi'(|\Omega|)] \Theta(\omega - |\Omega|) + \right. \\ & \left. + [\varphi(\omega + |\Omega| + \omega) - \varphi(\omega + |\Omega| - \omega)] \right\}. \end{aligned} \quad (18)$$

Очевидно, что первая часть выражения (18) дает максимальный вклад в  $\Delta \eta$  из-за наличия дополнительного множителя  $\hat{D}\mathbf{q}^2$  в знаменателе. Умножая на  $L(\Omega, \mathbf{q})$  и производя суммирование по  $\Omega$  и интегрирование по  $\mathbf{q}$ , получим

$$\begin{aligned} \Delta \eta_{||} = & -\sigma_0 T / e \cdot \left\{ \frac{1}{2g\rho} (\ln|g|)_{\mu}^{\prime} + \frac{1}{2} \left[ \Psi \left( \frac{1}{2} + \frac{\omega d}{2\pi T} \right) - \Psi \left( \frac{1}{2} \right) \right] (\ln \tau)_{\mu}^{\prime} \right\} \times \\ & \times \int (d\mathbf{q}) / (\rho \hat{D} \mathbf{q}^2) F[T, \mathbf{q}], \end{aligned} \quad (19)$$

где  $\sigma_0 = e^2(\rho v_{||}^2 \tau)$  — остаточная проводимость двумерной пленки. Функция  $F$ , полученная путем аналитического продолжения суммы по  $\Omega$ , равна

$$\begin{aligned} F[T, \mathbf{q}] = & F[t, \hat{D}\mathbf{q}^2] = 1/8\pi T^3 \cdot \int d\Omega [\Omega^2 / \text{sh}^2(\Omega/2T)] \times \\ & \times [\varphi(-i\Omega) - \varphi(i\Omega)] \{l_r^2(\Omega, \mathbf{q}) - l_a^2(\Omega, \mathbf{q})\}. \end{aligned} \quad (20)$$

Вблизи СП перехода основной вклад в интеграл по  $\mathbf{q}$  дают малые  $\mathbf{q}$  ( $\hat{D}\mathbf{q}^2 < T$ ). В этом приближении (проинтегрировать (20) точно не представляется возможным) получим  $F [T=T_c, \mathbf{q}=0]=8/\pi$ . Если же, напротив, температура очень высока, для  $F$  получается асимптотика

$$F = C/(\ln T/T_c)^3, \quad C = \frac{1}{\pi} \int dx (x^2/\text{sh}^2 x) \left| \Psi\left(\frac{1}{2} - \frac{ix}{2\pi}\right) - \Psi\left(\frac{1}{2} + \frac{ix}{2\pi}\right) \right|^2. \quad (21)$$

Таким образом, можно считать  $F [T, \mathbf{q}] = F [t]$  и интеграл по  $\mathbf{q}$  обретает вид  $\int (d\mathbf{q}) (1/\hat{D}\mathbf{q}^2)$ .

В случае двумерия такой интеграл расходится. Поэтому учтем процессы неупругого рассеяния (фононное и на парамагнитных примесях). Это приводит к замене  $\hat{D}\mathbf{q}^2 \rightarrow \hat{D}\mathbf{q}^2 + 1/\tau_\varphi$  в формуле (1) для треххвостки и соответственно в (19), где  $\tau_\varphi$  — сбой фазы электрона за счет неупругих процессов. Для  $\tau_\varphi$  можно записать

$$1/\tau_\varphi = 1/\tau_{ph} + 2/\tau_s, \quad 1/\tau_s = 2\pi\rho N_s \langle S(S+1) |u_s|^2 \rangle, \quad (22)$$

где  $\tau_{ph}$ ,  $\tau_s$  обусловлены соответственно фононным и спин-спиновым механизмами рассеяния;  $N_s$  — концентрация парамагнитных примесей;  $u_s(\mathbf{r})$  — потенциал спин-спинового взаимодействия. Как известно, поскольку электрон-фононное рассеяние не препятствует образованию СП состояния,  $\tau_{ph}$  не входит в выражение для куперовского пропагатора  $L(\Omega, \mathbf{q})$  (обязанного иметь полюс при  $\Omega=0, \mathbf{q}=0, T=T_c$ ). Поэтому в пропагаторе надо сделать замену  $\hat{D}\mathbf{q}^2 \rightarrow \hat{D}\mathbf{q}^2 + 2/\tau_s$ .

С учетом вышесказанного и выражения (13) для  $\hat{D}\mathbf{q}^2$  получим из (19)

$$\Delta\eta_{11} = -\sigma_0 T/e \cdot F [T] \left\{ \frac{1}{2g\rho} (\ln |g|)'_\mu + \frac{1}{2} \left[ \Psi\left(\frac{1}{2} + \frac{\omega d}{2\pi T}\right) - \Psi\left(\frac{1}{2}\right) \right] (\ln \tau)_\mu' \right\} \times \\ \times \frac{1}{2\mu\tau} \Phi(\pi/8T\tau_\varphi), \quad \Phi(x) = -2 \ln(\sqrt{x} + (x + \delta_0^2)^{1/2}), \quad \delta_0^2 = \pi\tau\omega^2/4T_c. \quad (23)$$

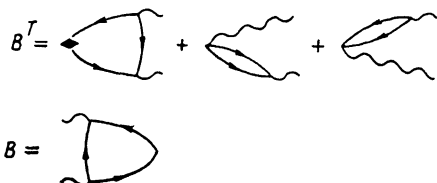
При температурах, близких к температуре СП перехода ( $\ln(T/T_c) \ll 1$ ), выражение (23) удобно представить в виде

$$\Delta\eta_{11} = \frac{1}{\pi e \mu \tau} \sigma_0 T \left\{ \frac{1}{2g\rho} (\ln |g\rho|)'_\mu \right\} \Phi(t_\varphi), \quad t_\varphi = \pi/8T_c \tau_\varphi. \quad (24)$$

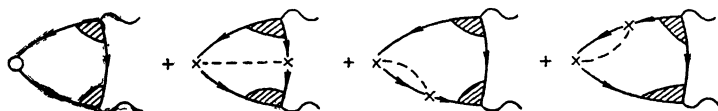
Преобразование в фигурных скобках (24) сделано с учетом уравнения БКШ

$$-1/\rho g' = \Psi(1/2 + \omega d/2\pi T_c) - \Psi(1/2).$$

Перейдем теперь к поправке АЛ, получаемой из диаграмм 6, 7, 8 рис. 2. Вычислим отдельно блоки  $B^T(\Omega, \mathbf{q})$  и  $B(\Omega, \mathbf{q})$



Усреднение по примесям для диаграммы АЛ выполняется аналогично случаю диаграмм МТ, однако графиков возникает существенно меньше.



После суммирования по фермионной частоте получаем



$$\mathbf{B}^T = \mathbf{B}^{T,s} + \mathbf{B}^{T,a}, \quad \mathbf{B}^{T,a} = -i\rho\hat{D}\mathbf{q} \left\{ [\varphi'(|\Omega|) + \varphi'(|\Omega + \omega|)] \frac{\Omega + \omega/2}{4\pi T} - \right. \\ \left. - [\varphi'(|\Omega|) - \varphi'(|\Omega + \omega|)] \right\}, \quad \mathbf{B}^{T,s} = \frac{1}{2} (\rho\hat{D}\mathbf{q})'_\mu \times$$

$$\times \left\{ \frac{(\Omega + \omega/2)^2}{4\pi T} [\varphi'(|\Omega|) + \varphi'(|\Omega + \omega|)] - \omega - (\Omega + \omega/2) [\varphi(|\Omega|) - \varphi(|\Omega + \omega|)] \right\} - \\ - \frac{1}{2} \tau \{ (\hat{D}/\tau)'_\mu \mathbf{q}^2 (\rho\hat{D}\mathbf{q}) + (\hat{D}\mathbf{q}^2) (\rho\hat{D}/\tau)'_\mu \mathbf{q} \} [2\varphi(2\omega d) - \varphi(|\Omega|) - \varphi(|\Omega + \omega|)],$$

$$\mathbf{B} = \mathbf{B}^s + \mathbf{B}^a, \quad \mathbf{B}^s = -(2\rho\hat{D}\mathbf{q}/4\pi T) [\varphi'(|\Omega|) + \varphi'(|\Omega + \omega|)],$$

$$\mathbf{B}^a = -i(\rho\hat{D})'_\mu \mathbf{q} \left\{ \frac{\Omega + \omega/2}{4\pi T} [\varphi'(|\Omega|) + \varphi'(|\Omega + \omega|)] - \right. \\ \left. - [\varphi(|\Omega|) - \varphi(|\Omega + \omega|)] \right\}. \quad (25)$$

Отсюда легко можно получить вклад АЛ в функцию термоэлектрического отклика

$$\Delta Q_{\alpha\beta}(\omega_\nu) = -T/2\Sigma_\Omega \int (d\mathbf{q}) [B_\alpha^{T,a} B_\beta^s + B_\alpha^{T,s} B_\beta^a] L(\Omega, \mathbf{q}) L(\Omega + \omega, \mathbf{q}).$$

Наибольшую величину вклада дают член  $-\omega (\rho\hat{D})'_\mu \mathbf{q}/2$  и последний член из  $\mathbf{B}^{T,s}$  в свертке с  $\mathbf{B}^s$ . Первый приводит к поправке

$$\Delta\eta_{||} = -\frac{T}{2\pi\mu\tau} (\rho v_\parallel^2 \tau)'_\mu \Phi(t + t_s), \quad t_s = \pi/4T_c \tau_s. \quad (26)$$

Такую поправку можно не учитывать по сравнению с (23), ибо здесь отсутствует большой множитель  $1/|\rho g|$ . Поправка от последнего члена из  $\mathbf{B}^{T,a}$  более существенна, и ее рассмотрим подробнее

$$\Delta\eta_{||} = -\frac{\pi e \tau}{4T |g\rho|} \int (d\mathbf{q}) (\rho\hat{D}\mathbf{q})_{||} \{ (\hat{D}/\tau)'_\mu \mathbf{q}^2 (\rho\hat{D}\mathbf{q})_{||} + (\hat{D}\mathbf{q}^2) (\rho\hat{D}/\tau)'_\mu \mathbf{q}_{||} \} \times \\ \times \left( \frac{1}{-i} \frac{\partial}{\partial \omega} F(\omega) \right), \quad \frac{1}{-i} \frac{\partial}{\partial \omega} F(\omega) = (1/4\pi\rho^2) \int d\Omega \operatorname{cth}(\Omega/2T) \times \\ \times [l_r(\Omega, \mathbf{q}) - l_a(\Omega, \mathbf{q})] \frac{i\pi}{8T} [l_r^2 + l_a^2], \quad (27)$$

где  $F(\omega)$  есть аналитическое продолжение суммы  $T\Sigma_\Omega L(\Omega) L(\Omega + \omega)$ . Подобное аналитическое продолжение делалось в работе [5] для проводимости. При этом использовано тождество  $Q_{\alpha\beta}(0) = 0$  (см. Приложение).

В результате интегрирования по частоте  $\Omega$  выражение  $\Delta\eta$  из (27) имеет вид

$$\Delta\eta_{||} = \frac{\pi e \tau}{4T |g\rho|} \int (d\mathbf{q}) \{ (\hat{D}/\tau)'_\mu \mathbf{q}^2 (\rho\hat{D}\mathbf{q}) + (\hat{D}\mathbf{q}^2) (\rho\hat{D}/\tau)'_\mu \mathbf{q}_{||} \} \times \\ \times \frac{\pi}{16T} \hat{D}\mathbf{q}_{||} \left( t + t_s + \frac{\pi}{8T} \hat{D}\mathbf{q}^2 \right)^{-3}.$$

Пренебрегая в числителе этого выражения членами порядка параметра квазидвумерия  $\delta_0^2 \ll 1$ , получим

$$\Delta\eta_{||} = \frac{2e}{\pi |g\rho|} \frac{T}{\mu\tau} [2(\rho v_\parallel^2 \tau)'_\mu + v_\parallel^2 \tau \rho'_\mu] \Phi(t + t_s). \quad (28)$$

Кроме этого, необходимо учесть также вклад в термоэлектрический коэффициент за счет нечетной по  $\Omega$  части пропагатора  $L(\Omega, \mathbf{q})$

$$\Delta Q_{\alpha\beta}(\omega_\nu)' = -T/2\Sigma_\Omega \int (d\mathbf{q}) \cdot B_\alpha^{T,a} B_\beta^s \delta^{\alpha\beta} [L(\Omega, \mathbf{q}) L(\Omega + \omega, \mathbf{q})].$$

Отсюда с учетом (25), (2) для области вблизи СП перехода (снова используя тождество  $Q_{\alpha\beta}(0) = 0$ ) получаем

$$\Delta\eta_{\parallel} = \frac{2T}{\pi e |g\rho|} \tau_0 \frac{1}{\mu\tau} (\ln |g\rho|)'_{\mu} \Phi(t + t_s). \quad (29)$$

Подведем итог вычислений. Поправки к величине термоэдс, являющейся объектом измерений, удобно представить в виде

$$\Delta\alpha_{\parallel}/\alpha_0 = \Delta\eta_{\parallel}/\eta_0 - \Delta\sigma_{\parallel}/\sigma_0,$$

где  $\sigma_0 = e^2 (\rho v_{\parallel}^2 \tau)$ ,  $\eta_0 = T e \pi^2 / 3 \cdot (\rho v_{\parallel}^2 \tau)'_{\mu}$  — остаточные проводимость и термоэлектрический коэффициент двумерной пленки. Из формул (24), (28), (29) получим для области температур вблизи СП перехода

$$\Delta\eta_{\parallel}/\eta_0 = (6/\pi^3 |g\rho|) \frac{1}{\mu\tau} \left[ \frac{\partial \ln |g\rho|}{\partial \ln \sigma_0} [\Phi(t_{\varphi}) + \Phi(t + t_s)] + \left( 2 + \frac{\partial \ln \rho}{\partial \ln \sigma_0} \right) \Phi(t + t_s) \right]. \quad (30)$$

Поправки к проводимости, модифицированные с учетом неупругого рассеяния, имеют вид

$$\Delta\sigma_{\parallel}/\sigma_0 = \frac{\pi}{8\mu\tau} \left[ [\Phi(t_{\varphi}) - \Phi(t + t_s)] / (t - t_{ph}) + \frac{1}{2} [-\Phi'(t + t_s)] \right],$$

$$\Phi'(x) = -[x(x + \delta_0^2)]^{-1/2}, \quad t_{ph} = \frac{\pi}{8T_c \tau_{ph}} = t_{\varphi} - t_s. \quad (31)$$

При температуре  $T'_c = T_c (1 - t_s)$  материал переходит в СП состояние;  $T'_c$  есть точка сингулярности пропагатора  $L$  из (2). Это соответствует смещению температуры СП перехода за счет спин-спинового рассеяния.

Из (30), (31) видно, что в области температур в непосредственной близости к СП переходу основной вклад в  $\Delta\alpha_{\parallel}/\alpha_0$  дают поправки к проводимости; с повышением температуры начинают превалировать поправки  $\Delta\eta/\eta_0$  из-за наличия большого множителя  $1/|g\rho| \sim \ln(\omega d/2\pi T_c)$ . Ширина температурной области, где превалируют поправки  $\Delta\sigma/\sigma_0$ , по порядку величины равна

$$\Delta T_{кр} \sim T_c \left[ \ln(\omega d/2\pi T_c) \max \left[ 1; \left| \frac{\partial \ln |g\rho|}{\partial \ln \sigma_0} \right| \right] \right]^{-1}. \quad (32)$$

Оценка (32) справедлива при условии  $\Delta T_{кр}/T_c \gg t_s$ , при этом не обязательно  $\Delta T_{кр}/T_c \gg t_{ph}$ ,  $\Delta T_{кр}/T_c \gg \delta_0^2$ . Далее из (31) следует, что температурный масштаб изменения  $\sigma$  по порядку величины равен

$$\Delta T_{взм\sigma} \sim T_c / \mu\tau, \quad d = 2; \quad \Delta T_{взм\sigma} \sim T_c / (\mu\tau)^2, \quad d = 3, \quad (33)$$

$d$  — размерность флуктуаций. Эта оценка справедлива при том же условии  $\Delta T_{взм\sigma}/T_c \gg t_s$ . Если бы это условие, однако, не выполнялось (т. е. влияние спин-спинового рассеяния велико), то экспериментальная зависимость  $\alpha(T)$  была бы очень плавной и без пиков, что не соответствует действительности. Дополнительные аргументы в пользу малости  $t_s$  будут приведены ниже.

Рассмотрим, например, экспериментальные данные по зависимости термоэдс и проводимости вблизи  $T_c$ . Для монокристаллических образцов  $\text{YBa}_2\text{Cu}_3\text{O}_{7-\delta}$ , исследованных в [4],  $T_c \simeq 90$ ,  $\Delta T_{кр} \simeq 5$ ,  $\Delta T_{взм\sigma} \simeq 2$  К. Из сравнения выражения (33) с экспериментальным масштабом изменения проводимости получаем  $\mu\tau \simeq 8$  (согласно [4], поведение флуктуаций там трехмерное). Такая оценка  $\mu\tau$  вызывает доверие.

Если предположить, что величина  $g$  имеет характерный масштаб изменения порядка  $\mu$ , так же как и  $\rho$ ,  $\tau$ ,  $v_{\parallel}$  (согласно фермижидкостной теории), то из оценки (32) получится  $\ln(\omega d/2\pi T_c) \simeq 10$ , что невозможно. Это заставляет думать, что константа связи  $g(\Omega)$  имеет гораздо более резкую зависимость от суммарной энергии взаимодействующих электронов, чем такие величины, как  $\rho$ ,  $\tau$ ,  $v_{\parallel}$ ; масштаб изменения  $g$  может лежать в пределах  $\omega d \ll \Delta\Omega_g \ll \mu$ .

Рассмотрим поправку  $\Delta\alpha_{\parallel}/\alpha_0$  при разных значениях параметров. Ограничимся материалом с квазидвумерным спектром ( $\delta_0 \ll 1$ ), случаем  $t_s, t_{ph} \ll 1$ . Если  $t_s \ll t \ll \delta_0^2, t_{ph}$ , поправка  $\Delta\alpha_{\parallel}/\alpha_0$  будет иметь вид

$$\Delta\alpha_{\parallel}/\alpha_0 = 6/\pi^3 \cdot (1/\mu\tau) (1/|g\rho|) \frac{\partial \ln |g|}{\partial \ln \sigma_0} [\Phi(t_{ph}) - 2 \ln(\delta_0 + \sqrt{t})] - \pi/8 \cdot (1/\mu\tau) [(-\Phi(t_{ph}) - 2 \ln(\delta_0 + \sqrt{t}))/t_{ph} + 1/(2\delta_0\sqrt{t})]. \quad (34)$$

Рассматривать меньшие  $t$  не имеет смысла, ибо в области температур, где, согласно (31),  $\Delta\sigma/\sigma_0 \approx 1$ , формулы (30) и (31) требуют уточнения (т. е. учета графиков более высокого порядка по  $L$  в теории возмущений). Если же  $\delta_0^2, t_s \ll t, t_{ph}$ , то

$$\Delta\alpha_{\parallel}/\alpha_0 = 6/\pi^3 \cdot (1/\mu\tau) (1/|g\rho|) \frac{\partial \ln |g|}{\partial \ln \sigma_0} [-\ln(t_{ph}) - \ln(t)] - \pi/8 \cdot (1/\mu\tau) [(\ln(t) - \ln(t_{ph}))/t - t_{ph} + 1/2t]. \quad (35)$$

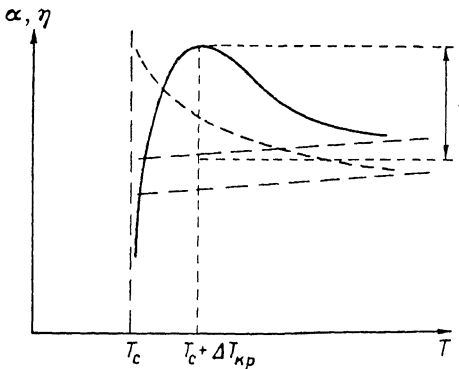


Рис. 6. Качественная температурная зависимость  $\alpha_{\parallel}$  (сплошная линия) и  $\eta_{\parallel}$  (штриховая линия) в широком интервале  $T$ .

$$I = \alpha_0(T_c) (1/\mu\tau) \ln(\omega_d/2\pi T_c) \ln(8T_c\tau\varphi/\pi) \max[1, |\partial \ln |g|/\partial \ln \sigma_0|].$$

Наконец, если  $\delta_0^2, t_{ph}, t_s \ll t$ , получим

$$\Delta\alpha_{\parallel}/\alpha_0 = 6/\pi^3 \cdot (1/\mu\tau) (1/|g\rho|) \frac{\partial \ln |g|}{\partial \ln \sigma_0} \Phi(t_{ph}) - \pi/8 \cdot (1/\mu\tau) [\Phi(t_{ph})/t + 1/2t]. \quad (36)$$

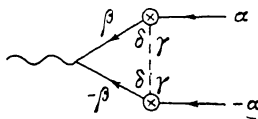
Если предположить, что  $\partial \ln |g|/\partial \ln \sigma_0 > 0$ , то график для термоэдс (рис. 6) будет похож на экспериментально наблюдаемую [4] зависимость.

## 2. Перенос энергии взаимодействия спин-спин (ВСС)

### и энергии межэлектронного взаимодействия

Несмотря на качественное совпадение теории, описанной в предыдущем разделе, с экспериментом для  $\alpha$ , полученная температурная зависимость  $\Delta\eta$  в трехмерном случае  $A - B\sqrt{\ln T/T_c}$  отличается от экспериментальной [4]  $A/\sqrt{\ln T/T_c}$ . Объяснить данный факт представляется возможным на основе предположения о переносе энергии ВСС и межэлектронного взаимодействия. Поскольку рассеяние на парамагнитных примесях, так же как и обычное, сопровождается большой передачей импульса, техника усреднения для него аналогична [6]. Похожи на вышерассмотренные также и графики для переноса тепла из-за ВСС. Примеры представлены на рис. 7. Если линию ВСС на рис. 7 заменить линией межэлектронного взаимодействия, получим графики, не учтенные на рис. 2 (более высокого порядка по константе связи  $g$ ).

Если линия ВСС охватывает вершину куперона, то при



усреднении появляется дополнительный знак минус

$$\Sigma_{(\beta, \gamma, \delta)} |u_s|^2 (S_{\gamma\delta\sigma\beta\alpha}) (S_{\delta\gamma\sigma-\beta, -\alpha}) = -N_s |u_s|^2 S(S+1).$$

В графиках 1, 2, 3, 6 (рис. 7) знак минус появляется, а в графиках 4, 5, 7 нет. Можно показать, что и в данном случае основной вклад дают аномальный график МТ (1, 2, рис. 7) и график АЛ (6, рис. 7). Результат надо удвоить, ибо со знаком плюс он уже учтен ( $1/\tau_s$  входило в  $1/\tau$ ).

Для МТ после суммирования по фермионной частоте получим четную по  $\Omega$  аномальную часть диаграммы

$$-1/2\tau_s (\rho v_{\parallel}^2)'_{\mu} (1/\hat{D}q^2) [\varphi(2\omega - |\Omega|) - \varphi(|\Omega|)] \theta(\omega - |\Omega|). \quad (37)$$

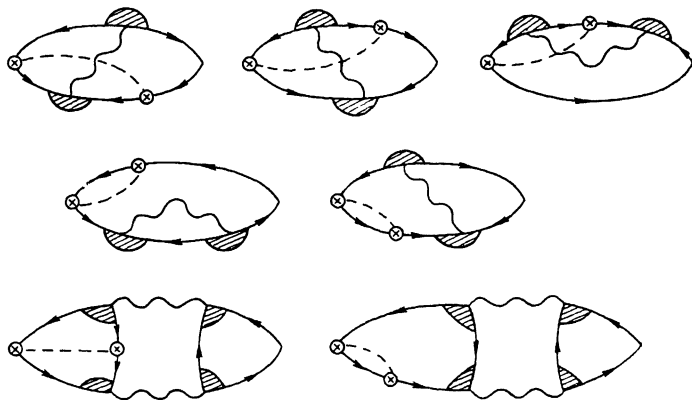


Рис. 7. Графики для переноса энергии ВСС.

Линии ВСС (с крестиками в кружочках на концах) соответствует при усреднении множитель  $N_s \langle |u_s|^2 S(S+1) \rangle = 1/2 \tau p \tau_s$ .

Производя аналогично суммирование по  $\Omega$ , получим

$$\Delta\eta_{\parallel} = (\pi e/8\rho\tau_s) (\rho v_{\parallel}^2)'_{\mu} \int (d\mathbf{q}) [Dq^2 + 1/\tau_{\varphi}]^{-1} \left[ t + \frac{\pi}{8T} (Dq^2 + 2/\tau_s) \right]^{-1}.$$

Отсюда с учетом (21) вблизи СП перехода

$$\Delta\eta_{\parallel} = (et_s/4) (1/\mu\tau) (\rho v_{\parallel}^2)'_{\mu} [[\Phi(t_{\varphi}) - \Phi(t + t_s)]/(t - t_{ph})]. \quad (38)$$

Диаграмма 6 рис. 7 дает вклад в  $\mathbf{V}^T$

$$-1/\tau_s \frac{1}{4\pi T} (\rho \hat{D}/\tau)'_{\mu} \mathbf{q} [\varphi'(|\Omega|) + \varphi'(|\Omega + \omega|)]. \quad (39)$$

Отсюда легко получить

$$\Delta\eta_{\perp} = (et_s/8) (1/\mu\tau) (\rho v_{\parallel}^2)'_{\mu} [-\Phi'(t + t_s)]. \quad (40)$$

Если учесть также аналогичные графики с межэлектронным взаимодействием вместо линии ВСС, то, как нетрудно показать, множитель  $t$  в  $\Delta\eta$  заменится на  $t_{\varphi}$ . В итоге получим

$$\Delta\eta_{\parallel} = (et_{\varphi}/4\mu\tau) (\rho v_{\parallel}^2)'_{\mu} \left[ \frac{[\Phi(t_{\varphi}) - \Phi(t + t_s)]}{t - t_{ph}} - \Phi'(t + t_s)/2 \right],$$

$$\Delta\eta_{\perp}/\eta_0 = (6/\pi^3) t_{\varphi} (1/\tau T) (\partial \ln(\rho v_{\parallel}^2)/\partial \ln \tau_0) \Delta\sigma_{\perp}/\sigma_0. \quad (41)$$

По сравнению с  $\Delta \sigma / \sigma_0$  из (31) поправка из (41)  $\Delta \eta / \eta_0$  имеет дополнителный множитель порядка  $t_\varphi (1/\tau T_c) = t_\varphi (1/\mu \tau) (T/\mu)^{-1}$ . Поскольку  $t_\varphi$  очень мало (см. ниже), этот множитель мал в окрестности СП перехода; соответственно мал вклад (41) в  $\Delta \alpha$  по сравнению с (31). Однако зависимость (41) от  $t$  гораздо более резкая при  $t \simeq t_s$ , чем в формуле (30), и соответствует экспериментальным данным вблизи  $T_c$ . Из этих данных можно оценить параметры  $t_s$  и  $t_\varphi$ . Из рис. 2, 3 [4] видно, что в трехмерном случае зависимость  $\Delta \eta (T)$  начинает отклоняться от закона  $A/\sqrt{\ln(T/T_c)}$  при  $\sqrt{(T-T_c)}/T_c \simeq 0.04$ ; отсюда  $t_s \simeq 2 \cdot 10^{-3}$ . Далее можно оценить коэффициент  $A$  как  $0.5 \text{ мкВ} \cdot \text{К}^{-1} \cdot \text{Ом}^{-1} \cdot \text{м}^{-1}$ . Из величины термоэдс вне флуктуационной области можно получить масштаб  $\mu \simeq 0.4 \text{ эВ}$  и параметры  $T_c/\mu \simeq 0.025$ ,  $\tau T_c \simeq 0.2$ , что вполне разумно. Зная  $A$ , можно из (41) получить оценку по порядку величины  $t_\varphi \simeq 0.01$ . Таким образом, в данном материале действие фононных процессов несколько сильнее, чем ВСС, и основной вклад поэтому вносят поправки АЛ, которые не подавляются фононными процессами.

Рассмотрим поправки  $\Delta \eta_{||} / \eta_0$  из (41) при разных значениях параметров. Если  $t \ll t_s \ll t$ ,  $t$ , поправка  $\Delta \alpha / \alpha$  будет иметь вид

$$\Delta \eta_{||} / \eta_0 = (3/4\pi^2) (1/\mu\tau) t_\varphi (1/\tau T_c) (\partial \ln(\rho v_{||}^2) / \partial \ln \sigma_0) \times \\ \times [(-\Phi(t_{ph}) - 2 \ln(\delta_0 + \sqrt{t})) / t_{ph} + 1/2(2\delta_0 \sqrt{t})]. \quad (42)$$

Если же  $\delta^2$ ,  $t_s \ll t$ ,  $t_{ph}$ , то

$$\Delta \eta_{||} / \eta_0 = (3/4\pi^2) (1/\mu\tau) t_\varphi (1/\tau T_c) (\partial \ln(\rho v_{||}^2) / \partial \ln \sigma_0) \times \\ \times [(\ln(t) - \ln(t_{ph})) / (t - t_{ph}) + 1/2t]. \quad (43)$$

Наконец, если  $\delta_0^2$ ,  $t_{ph}$ ,  $t_s \ll t$ , получим

$$\Delta \eta_{||} / \eta_0 = (3/4\pi^2) (1/\mu\tau) t_\varphi (1/\tau T_c) (\partial \ln(\rho v_{||}^2) / \partial \ln \sigma_0) [\Phi(t_{ph})/t + 1/2t]. \quad (44)$$

### П Р И Л О Ж Е Н И Е

Как известно, по аналогии с [6] все графики для оператора термоэлектрического отклика  $Q_{\alpha\beta}$  можно получить, вставляя токовые вершины и вершины потока тепла разными способами в замкнутые графики, причем возникают следующие элементарные блоки (рис. 8).

Удобно ввести обозначения  $\mathbf{q} = \mathbf{p}_1 + \mathbf{p}_2$ ,  $\mathbf{w} = \mathbf{p}_1 - \mathbf{p}_2$ ,  $\Omega = \varepsilon_1 + \varepsilon_2$ . Если  $\omega_\nu = 0$ , то блокам соответствуют следующие выражения (до интегрирования по  $\mathbf{q}$  и суммирования по частотам):

$$[1]_\alpha \rightarrow \int (d\mathbf{w}) \{G_2(\varepsilon_2, \mathbf{p}_2) (\nabla_{\mathbf{p}_1})_\alpha G_1(\varepsilon_1, \mathbf{p}_1) + G_1(\nabla_{\mathbf{p}_2})_\alpha G_2\} = \\ = 2 \int (d\mathbf{w}) (\nabla_{\mathbf{q}})_\alpha G_1 G_2 \rightarrow 2 (\nabla_{\mathbf{q}})_\alpha \Gamma,$$

$$[2]_\beta = \int (d\mathbf{w}) \{G_2(\nabla_{\mathbf{q}})_\beta [i\varepsilon_1 G_1] + G_1(\nabla_{\mathbf{q}})_\beta [i\varepsilon_2 G_2]\} \rightarrow (\mathbf{T})_\beta,$$

$$[3]_{\alpha\beta} = \int (d\mathbf{w}) \left\{ \left[ \int (d\mathbf{k}) G^2(\varepsilon'_1, \mathbf{k}) \zeta_k(\nabla_{\mathbf{k}})_\alpha v_\beta \right] \frac{\partial}{\partial \mu_1} + \left[ \int (d\mathbf{k}) G^2(\varepsilon'_2) \zeta_k(\nabla_{\mathbf{k}})_\alpha v_\beta \right] \frac{\partial}{\partial \mu_2} \right\} \times \\ \times G_1 G_2 - \int (d\mathbf{w}) \left\{ \Sigma(\varepsilon'_1) \left( \int (d\mathbf{k}) (\nabla_{\mathbf{k}})_\alpha (\nabla_{\mathbf{k}})_\beta G^2(\varepsilon'_1) - \int (d\mathbf{k}) G^2(\varepsilon'_1) (\nabla_{\mathbf{k}})_\alpha v_\beta \right) \frac{\partial}{\partial \mu_1} + \right. \\ \left. + \Sigma(\varepsilon'_2) \left( \int (d\mathbf{k}) (\nabla_{\mathbf{k}})_\alpha (\nabla_{\mathbf{k}})_\beta G^2(\varepsilon'_2) - \int (d\mathbf{k}) G^2(\varepsilon'_2) (\nabla_{\mathbf{k}})_\alpha v_\beta \right) \frac{\partial}{\partial \mu_2} \right\} G_1 G_2,$$

$$[4]_{\alpha\beta} = \int (d\mathbf{w}) \{2i\varepsilon_1 (\nabla_{\mathbf{q}})_\alpha [G_2(\nabla_{\mathbf{q}})_\beta G_1] + 2i\varepsilon_2 (\nabla_{\mathbf{q}})_\alpha [G_1(\nabla_{\mathbf{q}})_\beta G_2] - \\ - i\varepsilon_1 G_1^2 G_2 (\nabla_{\mathbf{p}_1})_\alpha (\nabla_{\mathbf{p}_1})_\beta - i\varepsilon_2 G_2^2 G_1 (\nabla_{\mathbf{p}_2})_\alpha (\nabla_{\mathbf{p}_2})_\beta - [(\mathbf{v}_1)_\alpha (\mathbf{v}_1)_\beta G_1^2 G_2 + (\mathbf{v}_2)_\alpha (\mathbf{v}_2)_\beta G_2^2 G_1]\}$$

Вклад в термоэлектрический ток, соответствующий этим графикам, равен

$$I_{\alpha} = A_{\beta} \int (d\mathbf{q}) T \Sigma_{\Omega} ([1]_{\alpha} [2]_{\beta} + T \Sigma_{(\epsilon')} [3]_{\alpha\beta} + [4]_{\alpha\beta}) \int T \Sigma \dots \int T \Sigma \dots \Gamma \dots \Gamma \dots$$

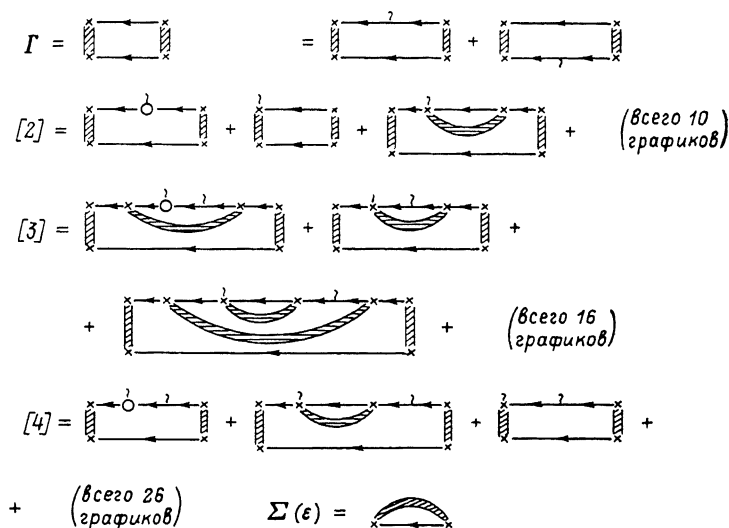


Рис. 8. Графики, возникающие при вставлении вершины тока и потока тепла в диаграммы рис. 1.

Заштрихованная полоса обозначает сумму примесной линии и линии, соответствующей межэлектронному взаимодействию

Также необходимо учесть прямой вклад в  $j^T$ , аналогичный диамагнитному току. Этому соответствуют графики рис. 9. В сумме рис. 9 с наборами графиков [3], [4] получается вклад в  $Q_{\alpha\beta}$

$$\int (d\mathbf{q}) T \Sigma_{\Omega} \int (d\mathbf{w}) (\nabla_{\mathbf{q}})_{\alpha} (G_2 (\nabla_{\mathbf{q}})_{\beta} [i\varepsilon_1 G_1] + G_1 (\nabla_{\mathbf{q}})_{\beta} [i\varepsilon_2 G_2]) \int T \Sigma \dots \int T \Sigma \dots \Gamma_1 \dots \dots \Gamma \dots = \int (d\mathbf{q}) T \Sigma_{\Omega} (\nabla_{\mathbf{q}})_{\alpha} (\mathbf{T})_{\beta} \int T \Sigma \dots \int T \Sigma \dots \Gamma \dots \Gamma \dots$$

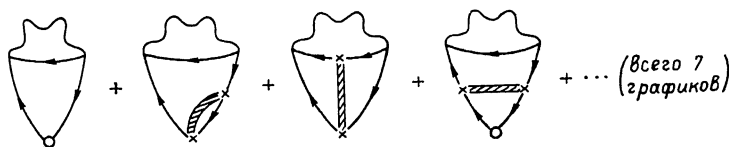


Рис. 9. Прямой вклад в тепловой поток.

Учитывая оставшиеся графики [1], [2] и интегрируя по  $\mathbf{q}$ , получим интеграл от градиента

$$\int (d\mathbf{q}) [2 (\nabla_{\mathbf{q}})_{\alpha} T_{\beta} + 2 (\mathbf{T})_{\beta} (\nabla_{\mathbf{q}})_{\alpha}] \int T \Sigma \dots \int T \Sigma \Gamma \dots \Gamma = 0.$$

Автор выражает благодарность А. Г. Аронову за руководство в работе и полезные обсуждения, А. Ю. Зюзину за полезные обсуждения.

#### Список литературы

- [1] Асламазов Л. Г., Ларкин А. И. // ФТТ. 1968. Т. 10. С. 1104.
- [2] Maki K. // Progr. Theor. Phys. 1968. V. 39. P. 897.
- [3] Thompson R. S. // Phys. Rev. 1970. V. B1. P. 327.

- [4] Howson M. A. et al. // J. Phys. Cond. Matter. 1989. V. 1. P. 465.  
[5] Askamazov L. G., Variamov A. A. // J. Low. Temp. Phys. 1980. V. 38. P. 223.  
[6] Altshuler B. L., Aronov A. G. // Electron-electron interaction in disordered systems // Ed. Efros and Pollak. 1985.  
[7] Maki K. // J. Low. Temp. Phys. 1974. V. 14. P. 419.

Физико-технический институт  
им. А. Ф. Иоффе АН СССР  
Ленинград

Поступило в Редакцию  
22 августа 1990 г.

---